

## Evaluation of morphological traits and yield and yield components of oilseed flax (*Linum usitatissimum* L.) genotypes in response to deficit irrigation regimes

M. Valipour<sup>1</sup>, A. Rahnama<sup>2\*</sup>, P. Hassibi<sup>2</sup>, A. Monsefi<sup>3</sup>

1. M.Sc. Graduate of Agrotechnology, Department of Plant Production and Genetics, Faculty of Agriculture, Shahid Chamran University of Ahvaz, Ahvaz, Iran

2. Associate Professor, Department of Plant Production and Genetics, Faculty of Agriculture, Shahid Chamran University of Ahvaz, Ahvaz, Iran

3. Assistant Professor, Department of Plant Production and Genetics, Faculty of Agriculture, Shahid Chamran University of Ahvaz, Ahvaz, Iran

Received 21 December 2023; Accepted 15 January 2024

### Extended abstract

#### Introduction

Arid and semi-arid regions of the world are primarily characterized by water scarcity, which limits agriculture mainly to irrigated land. Presently and in the future, irrigated farming systems will have to operate under conditions of water scarcity, which significantly impacts food production and threatens global food security. Deficit irrigation is an important strategy involving the application of limited irrigation during drought-sensitive phenological stages of a crop. Water restriction is targeted at drought-tolerant growth stages, particularly the vegetative stages and late stages of ripening. The response of plants to deficit irrigation-induced water stress varies with growth stages and stress intensity. Deficit irrigation can maximize crop water productivity without significant yield loss, and various deficit irrigation strategies have been developed to improve crop performance under water deficit conditions. However, it is crucial to develop crop management strategies aimed at enhancing crop sustainability in stressful environmental conditions. Therefore, our study aimed to investigate the influence of different irrigation regimes at various growth stages on the morphological characteristics, and oil and grain yield of oilseed flax genotypes.

#### Materials and methods

This experiment was carried out during the 2022-2023 growing season, using a split-plot arrangement in a randomized complete block design with three replications. The study site was located at the research farm of Shahid Chamran University of Ahvaz, Iran. The main plots consisted of four irrigation regimes: control (irrigation at 80%, 80%, 80%, and 80% of field capacity), mild water deficit (irrigation at 60%, 70%, 70%, and 60% of field capacity), moderate water deficit (irrigation at 60%, 60%, 60%, and 60% of field capacity) and severe water deficit (irrigation at 40%, 50%, 50%, and 40% of field capacity). The sub-plots consisted of four oilseed flax genotypes: Isfahan, Kerman, Indian and Hungarian. Deficit irrigation treatments were applied at stem elongation, branching, flowering, and seed-filling stages. The control treatment was watered with sufficient water (80% field capacity) until the end of the experiment.

\* Corresponding author: Afrasyab Rahnama; E-Mail: [a.rahnama@scu.ac.ir](mailto:a.rahnama@scu.ac.ir)



### Results and discussion

There were significant differences among genotypes and irrigation regimes in most traits. Deficit irrigation depend on plant growth stage and stress severity led to a significant reduction in the number of capsule per plant, the number of grain per capsule, grain number per plant, grain weight per plant, 1000-grain weight, plant height, branch number, biomass yield, harvest index, and grain and oil yield. The grain yield of all genotypes significantly decreased under mild, moderate and severe water-deficit stresses by 34%, 39% and 49%, respectively, compared to the control. Similarly, the oil yield reduced by 35%, 40%, and 52%, respectively, compared to the control. There was genetic variation in grain yield between genotypes in response to water deficit. Grain yield was significantly reduced for all genotypes in response to severe water-deficit stress, with larger reductions in Indian and Hungarian genotypes (56 and 62%, respectively) than Isfahan and Kerman genotypes (with 46 and 32%, respectively). The Isfahan and Kerman genotypes with higher grain yield exhibited a higher oil yield.

### Conclusion

Different irrigation regimes applied at various growth stages had different effects on the morphological traits and yield of oil seed flax genotypes. The developmental stage and severity of water deficiency played an important role in the genotype responses to deficit irrigation management. The moderate deficit regime led to a 37% and 29% decrease in grain yield of Isfahan and Kerman genotypes, respectively, while saving about 35% of available water. Therefore, this deficit irrigation regime is recommended as a suitable strategy to improve water productivity. Moreover, Isfahan and Kerman genotypes are recommended for cultivation in semi-arid regions due to their greater stability in grain yield under deficit irrigation conditions.

**Keywords:** Drought stress, Growth stages, Oil yield, Seed yield

## ارزیابی خصوصیات مورفولوژیکی و عملکرد و اجزای عملکرد ژنوتیپ‌های کتان روغنی (*Linum usitatissimum* L.) در واکنش به رژیم‌های کم‌آبیاری

محمد ولی پور<sup>۱</sup>، افراسیاب راهنما<sup>۲\*</sup>، پیمان حسینی<sup>۳</sup>، علی منصفی<sup>۳</sup>

۱. دانش‌آموخته کارشناسی ارشد، گروه مهندسی تولید و ژنتیک گیاهی، دانشکده کشاورزی، دانشگاه شهید چمران اهواز، اهواز، ایران
۲. دانشیار، گروه مهندسی تولید و ژنتیک گیاهی، دانشکده کشاورزی، دانشگاه شهید چمران اهواز، اهواز، ایران
۳. استادیار، گروه مهندسی تولید و ژنتیک گیاهی، دانشکده کشاورزی، دانشگاه شهید چمران اهواز، اهواز، ایران

مشخصات مقاله	چکیده
واژه‌های کلیدی:	کم‌آبیاری یک راهبرد مهم صرفه‌جویی مصرف آب آبیاری است که راندمان مصرف آب را افزایش می‌دهد. به منظور ارزیابی واکنش صفات مورفولوژیکی و عملکرد ژنوتیپ‌های کتان روغنی به رژیم‌های کم‌آبیاری، آزمایشی مزرعه‌ای به صورت کرت‌های خردشده در قالب طرح پایه بلوک‌های کامل تصادفی با سه تکرار در سال زراعی ۱۴۰۲-۱۴۰۱ در دانشگاه شهید چمران اهواز اجرا شد. چهار رژیم آبیاری شامل آبیاری مطلوب (آبیاری در ۸۰-۸۰-۸۰-۸۰ درصد ظرفیت زراعی)، کم‌آبیاری ملایم (آبیاری در ۶۰-۷۰-۷۰-۶۰ درصد ظرفیت زراعی)، کم‌آبیاری متوسط (آبیاری در ۶۰-۶۰-۶۰-۶۰ درصد ظرفیت زراعی) و کم‌آبیاری شدید (آبیاری در ۴۰-۵۰-۵۰-۴۰ درصد ظرفیت زراعی) به‌عنوان عامل اصلی و چهار ژنوتیپ کتان روغنی (هندی، مجاری، اصفهان و کرمان) به‌عنوان عامل فرعی مورد بررسی قرار گرفتند. رژیم‌های آبیاری مذکور به ترتیب در مراحل رشد رویشی، ساقه‌دهی، آغاز گلدهی و آغاز پُر شدن دانه اعمال شدند. رژیم‌های کم‌آبیاری بسته به مرحله رشدی گیاه و شدت تنش به‌طور متفاوتی باعث کاهش ویژگی‌های مورفولوژیکی و عملکرد دانه و روغن ژنوتیپ‌ها شد. به‌طوری‌که رژیم‌های کم‌آبیاری ملایم، متوسط و شدید به‌طور متوسط منجر به کاهش معنی‌دار عملکرد دانه به میزان ۳۴، ۳۹ و ۴۹ درصد و عملکرد روغن به میزان ۳۵، ۴۰ و ۵۲ درصد شدند. بین ژنوتیپ‌ها از نظر عملکرد دانه در واکنش به کم‌آبیاری تنوع ژنتیکی وجود داشت. عملکرد دانه در کم‌آبیاری شدید در مقایسه با آبیاری مطلوب در ژنوتیپ‌های هندی، مجاری، اصفهان و کرمان به میزان ۵۶، ۶۲، ۴۶ و ۳۲ درصد کاهش یافت. ژنوتیپ‌های اصفهان و کرمان در شرایط کم‌آبیاری با کمترین کاهش عملکرد دانه و روغن، پایداری عملکرد بالاتری داشتند. به‌طور کلی، اعمال کم‌آبیاری متوسط علی‌رغم کاهش ۳۷ و ۲۹ درصدی عملکرد دانه در ژنوتیپ‌های اصفهان و کرمان، باعث کاهش ۳۵ درصدی آب مصرفی و افزایش کارایی مصرف آب شد. لذا رژیم آبیاری ۶۰ درصد ظرفیت زراعی و ژنوتیپ‌های اصفهان و کرمان برای تولید پایدار کتان روغنی در مناطق نیمه‌خشک قابل توصیه هستند.
تاریخ دریافت:	
۱۴۰۲/۰۹/۳۰	
تاریخ پذیرش:	
۱۴۰۲/۱۰/۲۵	

### مقدمه

کتان زیر کشت آن در جهان به دلیل تقاضا و ارزش اقتصادی بالا به‌طور فزاینده‌ای در حال گسترش است (Gao, 2020). در سال ۲۰۲۲، سطح زیر کشت کتان روغنی در جهان حدود ۴/۵ میلیون هکتار و میزان تولید آن ۳/۶۵ میلیون تن بوده است (FAO, 2022). در ایران نیز به‌تازگی کشت این گیاه مجدداً مورد توجه قرار گرفته و بر اساس آمارنامه کشاورزی در

کتان روغنی (*Linum usitatissimum* L.)، یکی از گیاهان لیفی خانواده کتان موسوم به کتان معمولی یا بزرک است که دارای ارزش تجاری و دارویی بالا بوده و کشت آن در کشاورزی سراسر دنیا سابقه طولانی دارد و به دلیل توسعه محصولات باارزش حاصل از این گیاه، قیمت آن در بازار جهانی رو به افزایش است (Zhao et al., 2020). بنابراین

سال ۱۴۰۰، سطح زیر کشت کتان در کشور ۱۰۱ هکتار و میزان تولید آن ۱۳۱ تن بوده است (Ministry of Agriculture Jihad, 2022).

در حال حاضر، راهبردهای بهبود عملکرد شامل روش‌های بهنژادی و بهزراحی است. با این وجود کمبود آب و پراکنش نامناسب بارندگی در مراحل مختلف رشدی گیاهان از عوامل اصلی محدودکننده تولید محصولات کشاورزی در مناطق خشک و نیمه‌خشک است و رقابت بر سر منابع آبی، سبب تبدیل اراضی فاریاب به سیستم‌های دیم شده است. بدیهی است که گیاهان زراعی و حتی گیاهان نسبتاً متحمل به خشکی از وقوع دوره‌های تنش خشکی آسیب خواهند دید. کم‌آبیاری یک سیستم مدیریتی آبیاری و راهبرد مهم صرفه‌جویی در مصرف آب آبیاری در بسیاری از نقاط جهان است (Fernández et al., 2013) که در آن آبیاری در مقادیر کمتر از نیاز آبی گیاه زراعی اعمال می‌شود و در نتیجه راندمان مصرف آب افزایش می‌یابد. در مناطق خشک و نیمه‌خشک، به دلیل محدودیت دسترسی به آب، استفاده از سیستم‌های منتهی به افزایش راندمان مصرف آب و بهبود عملکرد دانه بسیار مهم است (Ma et al., 2020). در نتیجه در دهه‌های اخیر به‌منظور صرفه‌جویی در مصرف آب، شیوه‌های مختلف کم‌آبیاری به‌عنوان یک روش جایگزین برای آبیاری سنتی فاریاب مورد بررسی قرار گرفته است.

تاکنون پژوهش‌های متعددی در زمینه رشد کتان روغنی در شرایط آبیاری کامل انجام شده است. برای مثال، آبیاری مناسب پس از گرده‌افشانی کتان روغنی باعث افزایش تجمع ماده خشک و افزایش سهم ماده خشک به دانه شده است (Cui et al., 2015). همچنین گزارش شده مقادیر عملکرد دانه کتان روغنی در کشت فاریاب به‌مراتب بیشتر از کشت دیم آن است (Bauer et al., 2015). در پژوهشی دیگر گزارش شد آبیاری مناسب سبب افزایش عملکرد دانه کتان روغنی شد، اما برخی مطالعات نیز نشان دادند که آبیاری تأثیری قابل توجهی بر عملکرد دانه نداشت (Bauer et al., 2015). از سوی دیگر، آبیاری بیش‌ازحد نیز به‌طور قابل-توجهی فتوسنتز و عملکرد دانه کتان را کاهش می‌دهد (Cui et al., 2015). بنابراین حجم مناسب آب آبیاری و مراحل رشدی گیاه دو جزء ضروری برای افزایش عملکرد دانه و استفاده کارآمد از آب است.

به‌رحال با کاهش منابع آبی و افزایش هزینه آب مصرفی، واضح است که کشاورزی به سمت مدیریت کم‌آبیاری سوق

داده می‌شود و طی آن گیاه با مقادیر جزئی تنش خشکی روبرو می‌شود. مهم‌ترین چالش این راهبرد تعیین یک سیستم مدیریت کم‌آبیاری با کمترین تأثیر منفی تنش بر گیاه است. به عبارتی، در زمان محدودیت دسترسی به آب، مدیریت کم‌آبیاری مستلزم انتخاب زمان مناسب آبیاری و مقدار آب مصرفی و نیز درجه حساسیت گیاه به تنش است (Ferreres and Soriano, 2007).

بدون شک تنش خشکی، مهم‌ترین عامل محدودکننده عملکرد گیاهان زراعی محسوب می‌گردد (Wei et al., 2020). گزارش‌های متعددی نشان می‌دهند که تنش خشکی عملکرد دانه، عملکرد و کیفیت روغن کتان روغنی را کاهش می‌دهد (Naserie et al., 2021; Sadeghian Dehkordi and Tadayyon, 2016; Shojaeian Kish et al., 2021; Istanbuluoglu et al., 2015). از سوی دیگر، گیاهان زراعی در مراحل مختلف فنولوژیکی حساسیت متفاوتی به تنش خشکی نشان می‌دهد. نوع واکنش‌ها و میزان خسارت تنش به عوامل متعددی از جمله شدت، مدت و زمان وقوع تنش و ژنوتیپ گیاهی بستگی دارد (Moatshe et al., 2020). عملکرد دانه بسیاری از گیاهان زراعی در مراحل رویشی و اواخر زایشی واکنش ناچیزی به تنش رطوبتی نشان می‌دهند، در حالی که در مرحله زایشی تحت تأثیر تنش رطوبتی قرار می‌گیرند. گزارش شده که کم‌آبیاری طی مرحله حساس گلدهی سبب کاهش رشد و عملکرد کتان روغنی شد، در حالی که در مرحله رسیدگی تأثیر آن کمتر بود (Istanbuluoglu et al., 2015).

به‌طور کلی، تنش خشکی در مراحل مختلف رشدی گیاه تأثیر متفاوتی بر ویژگی‌های مورفولوژیکی و عملکرد گیاه برجای می‌گذارد و دسترسی مناسب به آب در مراحل مختلف رشدی گیاه جهت دستیابی به عملکرد قابل قبول حائز اهمیت است. هدف از اجرای این پژوهش بررسی تأثیر رژیم‌های مختلف کم‌آبیاری بر خصوصیات مورفولوژیکی و عملکرد ژنوتیپ‌های کتان روغنی در راستای کاهش مصرف آب آبیاری و حفظ پایداری عملکرد در شرایط کم‌آبی بود.

## مواد و روش‌ها

پژوهش حاضر به‌صورت کرت‌های خردشده در قالب طرح بلوک‌های کامل تصادفی با سه تکرار در سال زراعی ۱۴۰۱-۱۴۰۲ در مزرعه تحقیقاتی دانشکده کشاورزی دانشگاه شهید چمران اهواز اجرا شد. رژیم‌های آبیاری شامل آبیاری مطلوب

(آبیاری در ۸۰-۸۰-۸۰-۸۰ درصد ظرفیت زراعی)، کم آبیاری (ملایم (آبیاری در ۶۰-۷۰-۷۰-۶۰ درصد ظرفیت زراعی)، کم آبیاری متوسط (آبیاری در ۶۰-۶۰-۶۰-۶۰ درصد ظرفیت زراعی) و کم آبیاری شدید (آبیاری در ۴۰-۵۰-۵۰-۴۰ درصد ظرفیت زراعی) در کرت‌های اصلی و چهار ژنوتیپ کتان روغنی (هندی، مجاری، اصفهان و کرمان) در کرت‌های فرعی مورد بررسی قرار گرفتند. در مدیریت‌های مختلف آبیاری به گونه‌ای عمل شد که آبیاری با توجه به رسیدن میزان رطوبت خاک به مقادیر ظرفیت زراعی مورد نظر به ترتیب در مراحل رشد رویشی، ساقه‌دهی، آغاز گلدهی و آغاز پر شدن دانه اعمال شد. اعمال سطوح کم آبیاری از اواخر یک مرحله تا شروع مرحله بعد به همان صورت ادامه داشت و با ورود به مرحله رشدی بعد، درصد ظرفیت زراعی مورد نظر بعدی اعمال

شد. کاشت هر چهار ژنوتیپ در پنجم آذرماه انجام شد. بذرها کتان روغنی در دو طرف پنج پشته سه متری با فاصله پشته ۶۰ سانتی‌متر و فاصله خط کاشت ۳۰ سانتی‌متر و فاصله روی خطوط ۵ سانتی‌متر در عمق ۲ تا ۳ سانتی‌متری کشت شدند. به منظور جلوگیری از نشت آب بین تیمارها، فاصله بین سطوح کم آبیاری و همچنین فاصله بین تکرارها ۲ متر در نظر گرفته شد. با توجه به نتایج آزمون خاک (جدول ۱)، ۱۰۰ کیلوگرم در هکتار فسفر از منبع سوپرفسفات معمولی، ۸۰ کیلوگرم پتاسیم از منبع سولفات پتاسیم به صورت پایه قبل از کاشت و ۱۰۰ کیلوگرم در هکتار نیتروژن خالص از منبع کود اوره به صورت تقسیط در دو مرحله به صورت کود پایه هم‌زمان با کاشت و کود سرک در اوایل دوره ساقه‌دهی به خاک مزرعه اضافه شد.

جدول ۱. نتایج آنالیز فیزیکی و شیمیایی خاک مزرعه در عمق صفر تا ۳۰ سانتی‌متر

Table 1. The results of physico-chemical analysis of soil at 0-30 cm

بافت خاک	اسیدیته	هدایت الکتریکی	نیتروژن	پتاسیم	فسفر	مواد آلی	رطوبت ظرفیت زراعی	رطوبت نقطه پژمردگی
Soil texture	pH	EC	N	K	P	O.M	FC	PWP
		dS.m <sup>-1</sup>	%	mg.kg <sup>-1</sup>			%	%
Sandy loam	7.4	4.8	0.098	230	11.3	0.39	32	13

به منظور اعمال مدیریت کم آبیاری و برنامه‌ریزی آبیاری تیمارها در هر مرحله رشدی بر اساس درصد ظرفیت زراعی مورد نظر، از عمق صفر تا ۳۰ سانتی‌متری خاک مزرعه به طور تصادفی نمونه برداری و به آزمایشگاه منتقل شد. برای تعیین ظرفیت زراعی و پژمردگی دائم ابتدا با استفاده از صفحات فشاری نمونه‌های اشباع خاک در مکش‌های ۰/۳- و ۱۵- بار قرار داده شد و درصد رطوبت وزنی خاک در هر دو مکش تعیین شد. درصد رطوبت حجمی خاک در هر مکش با توجه به وزن مخصوص ظاهری خاک تعیین و آب قابل استفاده خاک بین این دو نقطه محاسبه شد. درصد رطوبت حجمی خاک به طور روزانه با استفاده از دستگاه رطوبت‌سنج (TDR) (ProCheck, Decagon Devices, USA) اندازه‌گیری شد. تیمار آبیاری مطلوب با رسیدن رطوبت خاک در ناحیه ریشه به ۸۰ درصد آب قابل استفاده اعمال شد و آبیاری سایر تیمارهای کم آبیاری با توجه به کاهش درصد آب قابل استفاده خاک در تیمار مورد نظر انجام شدند (Zandi et al., 2023). مقادیر تقریبی آب آبیاری مصرف‌شده در کل دوره رشد با احتساب مقادیر بارندگی در ابتدای دوره رشد برای تیمارهای

آبیاری مطلوب، کم آبیاری ملایم، کم آبیاری متوسط و کم آبیاری شدید به ترتیب ۶، ۴/۸، ۳/۹ و ۳/۶ هزار مترمکعب در هکتار و تعداد نوبت‌های آبیاری به ترتیب ۱۰، ۸، ۶ و ۵ مرتبه بود. مقادیر بارش (مؤثر و غیر مؤثر) از ابتدای آذرماه تا پایان فروردین‌ماه ۲۲۵ میلی‌متر بود که در حدود ۱۵۰ میلی‌متر آن تا اواسط بهمن‌ماه حادث شد. در پایان فصل رشد و پس از رسیدگی کامل دانه‌ها و به منظور حذف اثرات حاشیه‌ای، سه خط وسط هر کرت به عنوان خطوط نمونه برداری در نظر گرفته شدند. اندازه‌گیری عملکرد دانه، عملکرد زیست‌توده و شاخص برداشت از مساحت یک مترمربع از هر واحد آزمایشی انجام شد. همچنین به منظور اندازه‌گیری ارتفاع بوته و اجزای عملکرد شامل تعداد شاخه‌های فرعی، تعداد کپسول در بوته، تعداد دانه در کپسول، تعداد دانه در بوته، وزن دانه در بوته و وزن هزار دانه، تعداد ۱۵ بوته به طور تصادفی از هر واحد آزمایشی مورد ارزیابی قرار گرفت. محتوای روغن دانه با کمک حلال اتر و با روش سوکسله (FOSS, Model SOCCET 2050) اندازه‌گیری شد. کارایی مصرف آب آبیاری بر اساس عملکرد

روغن از نسبت عملکرد روغن به آب آبیاری مصرف شده محاسبه شد (Feres and Soriano, 2007).

تجزیه واریانس داده‌ها با استفاده از نرم‌افزار SAS نسخه ۹/۱ و مقایسه میانگین‌ها با آزمون دانکن در سطح احتمال ۵ درصد انجام شد.

### نتایج و بحث

تجزیه واریانس داده‌ها نشان داد بین رژیم‌های کم آبیاری در مراحل مختلف رشد از نظر کلیه صفات و بین ژنوتیپ‌ها از نظر کلیه صفات به جز تعداد و وزن دانه در بوته و عملکرد زیست-توده تفاوت معنی‌داری وجود داشت. برهم‌کنش رژیم‌های کم-آبیاری و ژنوتیپ نیز برای کلیه صفات به جز تعداد کپسول در بوته، تعداد شاخه فرعی، ارتفاع بوته، محتوا و عملکرد روغن تفاوت معنی‌داری نشان داد (جدول ۲).

### عملکرد دانه

برهم‌کنش سطوح کم آبیاری و ژنوتیپ‌ها نشان داد که رژیم-های کم آبیاری به‌طور متفاوتی منجر به کاهش معنی‌دار عملکرد دانه در هر چهار ژنوتیپ شدند. در تیمار آبیاری مطلوب ژنوتیپ‌های اصفهان و مجاری دارای بیشترین عملکرد دانه بودند، درحالی‌که در تیمارهای کم آبیاری ژنوتیپ‌های اصفهان و کرمان دارای بیشترین عملکرد دانه بودند و بین

آن‌ها تفاوت معنی‌داری وجود نداشت؛ البته در شرایط کم آبیاری ملایم، ژنوتیپ اصفهان تفاوت معنی‌داری با سایر ژنوتیپ‌ها داشت. بین ژنوتیپ‌ها در تیمار کم آبیاری شدید تفاوت معنی‌داری وجود داشت، به‌گونه‌ای که میزان کاهش عملکرد دانه در مقایسه با آبیاری مطلوب در ژنوتیپ‌های هندی، مجاری، اصفهان و کرمان به ترتیب ۴۱، ۵۹، ۳۷ و ۳۰ درصد بود (شکل ۱). عملکرد نهایی گیاه نیازمند عرضه مداوم مواد پرورده در طی نمو و باروری گل‌ها، تکامل جنین و تجمع نشاسته و پروتئین در دانه است. نتایج پژوهش حاضر نیز نشان داد تنش خشکی از طریق ریزش کپسول و کاهش تعداد دانه در کپسول و همچنین وزن دانه به‌ویژه در شدت‌های بالای تنش باعث کاهش عملکرد دانه کتان شد. در سطوح کم آبیاری ملایم و متوسط، پایداری عملکرد ژنوتیپ اصفهان و در سطوح کم آبیاری شدید پایداری عملکرد ژنوتیپ‌های اصفهان و کرمان به‌مراتب بیشتر از سایر ژنوتیپ‌ها بود که این امر ممکن است با سازگاری بهتر این ژنوتیپ‌ها با شرایط کم آبیاری در مراحل رشد سریع ساقه و پر شدن دانه نسبت به سایر ژنوتیپ‌ها مرتبط باشد. کاهش عملکرد دانه کتان روغنی در شرایط تنش خشکی در مطالعات متعددی گزارش شده است (Naserie et al., 2021; Sadeghian Dehkordi and Tadayyon, 2016; Shojaeian Kish et al., 2021; Istanbuluoglu et al., 2015).

جدول ۲. میانگین مربعات صفات مورفولوژیکی و عملکرد کتان روغنی تحت تأثیر ژنوتیپ و رژیم آبیاری

Table 2. Mean squares of morphological traits and yield of oilseed flax as affected by genotype and irrigation regime

S.O.V	منابع تغییرات	درجه آزادی	عملکرد	تعداد کپسول	تعداد دانه در	تعداد دانه	وزن دانه	وزن هزار	تعداد شاخه
			دانه	در بوته	کپسول	در بوته	در بوته	دانه	فرعی
		df	Grain yield	Capsule number per plant	Grain number per capsule	Grain number per plant	Grain weight per plant	1000 grain weight	Branch number
Block	بلوک	2	116589**	1067**	0.688*	139086*	4.13**	0.081 <sup>ns</sup>	0.380 <sup>ns</sup>
Irrigation (I)	آبیاری	3	2591765**	19637**	8.34**	2218526**	67.26**	0.211**	1.021**
Error (a)	خطای اصلی	6	13510	299.9	0.028	30775	0.708	0.018	0.203
Genotype (G)	ژنوتیپ	3	129939**	547**	0.768**	45026 <sup>ns</sup>	1.562 <sup>ns</sup>	1.878**	1.941**
I x G	کم آبیاری × ژنوتیپ	9	57949**	172 <sup>ns</sup>	0.517**	66108*	1.674*	0.116*	0.410 <sup>ns</sup>
Error (b)	خطای فرعی	24	13696	121	0.143	19008	0.654	0.044	0.187
C.V (%)	ضریب تغییرات		9.65	7.54	5.53	13.73	13.84	3.64	15.75

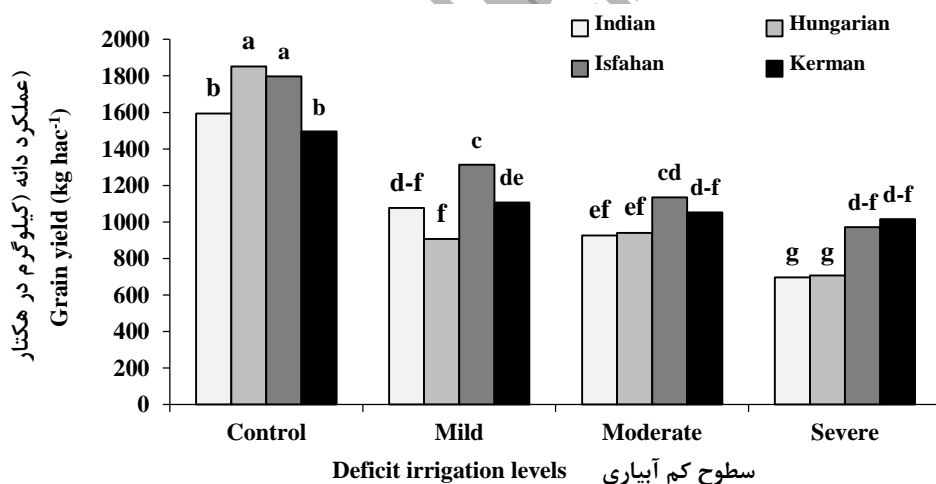
Table 2. Continued

جدول ۲. ادامه

S.O.V	درجه آزادی	ارتفاع بوته Plant height	عملکرد زیست توده Biological yield	شاخص برداشت Harvest index	محتوای روغن Oil content	عملکرد روغن Oil yield	راندمان مصرف آب Water use efficiency	
Block	بلوک	2	15.14 <sup>ns</sup>	268394 <sup>ns</sup>	7.11 <sup>**</sup>	7.48 <sup>ns</sup>	19710 <sup>**</sup>	0.00081 <sup>**</sup>
Irrigation (I)	آبیاری	3	110.1 <sup>**</sup>	3709860 <sup>**</sup>	159.9 <sup>**</sup>	9.62 <sup>*</sup>	263286 <sup>**</sup>	0.00079 <sup>**</sup>
Error (a)	خطای اصلی	6	51.4	5348413	0.718	1.57	1530	0.00013
Genotype (G)	ژنوتیپ	3	1363 <sup>**</sup>	7502159 <sup>ns</sup>	15.50 <sup>**</sup>	20.98 <sup>**</sup>	24093 <sup>**</sup>	0.00140 <sup>**</sup>
I × G	کم آبیاری × ژنوتیپ	9	12.15 <sup>ns</sup>	1042044 <sup>**</sup>	2.90 <sup>*</sup>	6.90 <sup>ns</sup>	7114 <sup>ns</sup>	0.00030 <sup>**</sup>
Error (b)	خطای فرعی	24	10.7	249257	0.992	2.54	2062	0.000094
C.V (%)	ضریب تغییرات		3.66	4.72	8.71	5.33	12.39	12.75

\*\*معنی دار در سطح ۱ درصد، \*معنی دار در سطح ۵ درصد، ns: غیرمعنی دار.

ns: not significant; \*and \*\* significant at 5% and 1% probability levels, respectively



شکل ۱. مقایسه میانگین عملکرد دانه ژنوتیپ‌های کتان روغنی در شرایط کم آبیاری

Fig. 1. Mean comparison for grain yield of oilseed flax genotypes under deficit irrigation

در بررسی تأثیر تنش خشکی بر عملکرد دانه کتان روغنی گزارش شد که تنش خشکی ملایم و متوسط به طور معنی-داری عملکرد دانه را از طریق کاهش وزن هزار دانه و تعداد کپسول در بوته کاهش داد (Sadeghian Dehkordi and Tadayyon, 2016). همچنین گزارش شد قطع آبیاری در دو مرحله شروع گلدهی تا شروع کپسول دهی و شروع کپسول دهی تا پایان رسیدگی کتان روغنی در مقایسه با آبیاری کامل سبب کاهش عملکرد دانه شد و بیشترین کاهش

در تیمار قطع آبیاری در مرحله شروع کپسول دهی تا پایان رسیدگی به دست آمد (Shojaeian Kish et al., 2021). تنش خشکی با تأثیر بر اجزای عملکرد کتان مانند تعداد کپسول یا طبق و تعداد دانه در کپسول باعث کاهش عملکرد دانه می شود (Naserie et al., 2021; Sadeghian Dehkordi and Tadayyon, 2016). در بررسی تأثیر رژیم-های آبیاری در مراحل مختلف رشدی گلرنگ مشخص شد اعمال تیمارهای کم آبیاری از طریق کاهش هدایت روزنه‌ای و

### تعداد کپسول در بوته

تعداد کپسول در بوته به عنوان یکی از اجزای مهم عملکرد کتان روغنی با اعمال رژیم‌های کم آبیاری در هر چهار ژنوتیپ به طور معنی داری کاهش یافت، به طوری که بیشترین تعداد کپسول در بوته در شرایط آبیاری مطلوب مشاهده شد و در رژیم‌های کم آبیاری ملایم، متوسط و شدید به ترتیب با کاهش ژنوتیپ اصفهان و هندی و کمترین آن مربوط به ژنوتیپ کرمان و مجاری بود (جدول ۳). قبلاً نیز گزارش شده تعداد کپسول در بوته ژنوتیپ هندی در مقایسه با ژنوتیپ مجاری از ثبات بیشتری در مواجهه با تنش خشکی انتهای فصل رشد برخوردار بود (Naserie et al., 2021).

به دنبال آن کاهش فتوسنتز منجر به کاهش معنی دار عملکرد دانه و زیست توده می شود و مقادیر کاهش بسته به سطوح کم آبیاری و مراحل رشدی متفاوت است (Zandi et al., 2023). نتیجه آزمایش حاضر مبنی بر تأثیر منفی تنش کم آبیاری در مراحل مختلف رشدی بر عملکرد دانه با نتایج ذکر شده مطابقت داشت. وجود همبستگی مثبت و معنی دار عملکرد دانه با تعداد کپسول در بوته ( $r=0.96^{**}$ ) و تعداد دانه در کپسول ( $r=0.87^{**}$ ) نیز حاکی از تأثیر گذاری بالای این دو جزء در تعیین عملکرد دانه بود (جدول ۴). به عبارتی تعداد کپسول در بوته و تعداد دانه در کپسول کتان روغنی از مهم ترین ویژگی هایی هستند که به طور غیرمستقیم در تعیین عملکرد دانه نقش دارند.

جدول ۳. تأثیر کم آبیاری و ژنوتیپ بر صفات مورفولوژیکی و عملکرد کتان روغنی

Table 3. Effect of deficit irrigation on morphological and yield traits of oilseed flax

تیمارها Treatments	تعداد کپسول در بوته Capsule number per plant	تعداد شاخه		ارتفاع بوته Plant height cm	محتوای روغن Oil content %	عملکرد روغن Oil yield Kg.ha <sup>-1</sup>
		فرعی Branch number	اصلی Main number			
<b>مدیریت کم آبیاری</b>						
<b>Deficit irrigation management</b>						
شاهد Control	205 <sup>a</sup>	3.10 <sup>a</sup>	-	84.5 <sup>a</sup>	30.8 <sup>a</sup>	517 <sup>a</sup>
کم آبیاری ملایم Mild deficit irrigation	133 <sup>b</sup>	2.64 <sup>b</sup>	-	82.6 <sup>ab</sup>	29.9 <sup>a</sup>	332 <sup>b</sup>
کم آبیاری متوسط Moderate deficit irrigation	131 <sup>bc</sup>	2.85 <sup>ab</sup>	-	81.5 <sup>ab</sup>	30.2 <sup>a</sup>	308 <sup>b</sup>
کم آبیاری شدید Severe deficit irrigation	114 <sup>c</sup>	2.41 <sup>c</sup>	-	77.3 <sup>b</sup>	28.6 <sup>b</sup>	244 <sup>c</sup>
<b>ژنوتیپ‌ها</b>						
<b>Genotypes</b>						
هندی Indian	148 <sup>a</sup>	2.91 <sup>ab</sup>	-	65.9 <sup>c</sup>	29.0 <sup>b</sup>	315 <sup>b</sup>
مجاری Hungarian	137 <sup>b</sup>	3.19 <sup>a</sup>	-	90 <sup>a</sup>	28.7 <sup>c</sup>	320 <sup>b</sup>
اصفهان Isfahan	153 <sup>a</sup>	2.67 <sup>b</sup>	-	84.7 <sup>b</sup>	31.6 <sup>a</sup>	411 <sup>a</sup>
کرمان Kerman	146 <sup>ab</sup>	2.24 <sup>c</sup>	-	85.4 <sup>b</sup>	30.3 <sup>ab</sup>	355 <sup>b</sup>

\* میانگین‌های دارای حروف مشترک برای هر صفت در هر ستون و هر فاکتور آزمایشی با استفاده از آزمون دانکن در سطح احتمال ۵ درصد اختلاف معنی دار ندارند. Means followed by the same letters for each trait in each column and each experimental factor using Duncan test at 5% probability level did not differ significantly.

مقایسه با آبیاری مطلوب کاهش یافت، در حالی که در رژیم کم آبیاری شدید، اعمال تنش رطوبتی شدیدتر در هر چهار مرحله رشدی منجر به کاهش بیشتر تعداد شاخه‌های فرعی و تعداد کپسول در بوته شد. به عبارتی، در شرایط تنش کم آبیاری شدید کاهش تعداد کپسول در بوته ناشی از کاهش توأم قدرت رشد رویشی و زایشی گیاه بود. در این خصوص

در تیمار کم آبیاری ملایم و متوسط، اعمال تنش رطوبتی در مرحله رویشی و ساقه‌دهی از طریق کاهش تعداد شاخه فرعی سبب کاهش تعداد کپسول در بوته شد. همچنین به نظر می‌رسد در مرحله پر شدن دانه، مواد فتوسنتزی تولیدی نتوانستند پاسخ‌گوی گل‌های لقاح یافته باشند و بنابراین به علت ریزش تعدادی از کپسول‌ها، تعداد نهایی کپسول در



رقابت می‌کند و از طریق ریزش کپسول منجر به کاهش تعداد کپسول و در نهایت کاهش عملکرد دانه می‌شود (Sierts et al., 1987). همبستگی مثبت و معنی‌دار بین تعداد کپسول در بوته با تعداد شاخه فرعی در بوته ( $r=0/47^{**}$ ) بر اهمیت تعداد شاخه‌های فرعی در تعیین تعداد کپسول در بوته دلالت دارد. به عبارتی شاخه‌های فرعی مکان‌های بالقوه تشکیل کپسول بیشتر در بوته هستند (جدول ۴).

نتایج مشابهی در کتان روغنی (Naserie et al., 2021) و گلرنگ (Zandi et al., 2023) نیز گزارش شده است. بر همین اساس در گیاه کتان روغنی سطوح تنش خشکی ملایم و شدید منجر به کاهش معنی‌دار تعداد کپسول در بوته شد (Sadeghian Dehkordi and Tadayyon., 2016). در شرایط تنش‌های محیطی دیواره کپسول در حال رشد با دانه‌های در حال توسعه برای جذب مواد فتوسنتزی به شدت

جدول ۴. ضرایب همبستگی بین صفات مورفولوژیکی و عملکرد ژنوتیپ‌های کتان روغنی در شرایط کم‌آبیاری

Table 4. Correlation coefficient between morphological traits and yield of oilseed flax genotypes under deficit irrigation

Traits	صفات	1	2	3	4	5	6
1	عملکرد دانه Grain yield	1					
2	تعداد کپسول در بوته Capsule number per plant	0.96**	1				
3	تعداد دانه در کپسول Grain number per capsul	0.87*	0.82**	1			
4	تعداد دانه در بوته Grain number per plant	0.96**	0.84**	0.90**	1		
5	وزن دانه در بوته Grain weight per plant	0.98**	0.96**	0.89**	0.97**	1	
6	وزن هزار دانه 1000 grain weight	0.26 <sup>ns</sup>	0.95**	0.06 <sup>ns</sup>	0.17 <sup>ns</sup>	0.27 <sup>ns</sup>	1
7	تعداد شاخه فرعی Branch number	0.38*	0.47**	0.54**	0.46**	0.41**	-0.14 <sup>ns</sup>
8	ارتفاع بوته Plant height	0.30 <sup>ns</sup>	0.17 <sup>ns</sup>	0.20 <sup>ns</sup>	0.28 <sup>ns</sup>	0.32*	0.53**
9	عملکرد زیست توده Biological yield	0.52 <sup>s*</sup>	0.38**	0.52**	0.51*	0.50**	0.04 <sup>ns</sup>
10	شاخص برداشت Harvest index	0.96**	0.96**	0.81**	0.92**	0.95**	0.29*
11	محتوای روغن Oil content	0.43**	0.38 <sup>ns</sup>	0.38*	0.38*	0.38*	0.37*
12	عملکرد روغن Oil yield	0.98**	0.94**	0.94**	0.94**	0.29**	0.30 <sup>ns</sup>

Table 4. Continued

جدول ۴. ادامه

Traits	صفات	7	8	9	10	11	12
7	تعداد شاخه فرعی Branch number	1					
8	ارتفاع بوته Plant height	0.20 <sup>ns</sup>	1				
9	عملکرد زیست توده Biological yield	0.50**	0.61**	1			
10	شاخص برداشت Harvest index	0.27 <sup>ns</sup>	0.18 <sup>ns</sup>	0.29 <sup>ns</sup>	1		
11	محتوای روغن Oil content	-0.03 <sup>ns</sup>	0.21 <sup>ns</sup>	0.02 <sup>ns</sup>	0.48**	1	
12	عملکرد روغن Oil yield	0.35*	0.30*	0.48**	0.96**	0.56**	11

\*\*معنی‌دار در سطح ۱ درصد، \*معنی‌دار در سطح ۵ درصد، ns: غیرمعنی‌دار.

ns: not significant; \*and \*\* significant at 5% and 1% probability levels, respectively

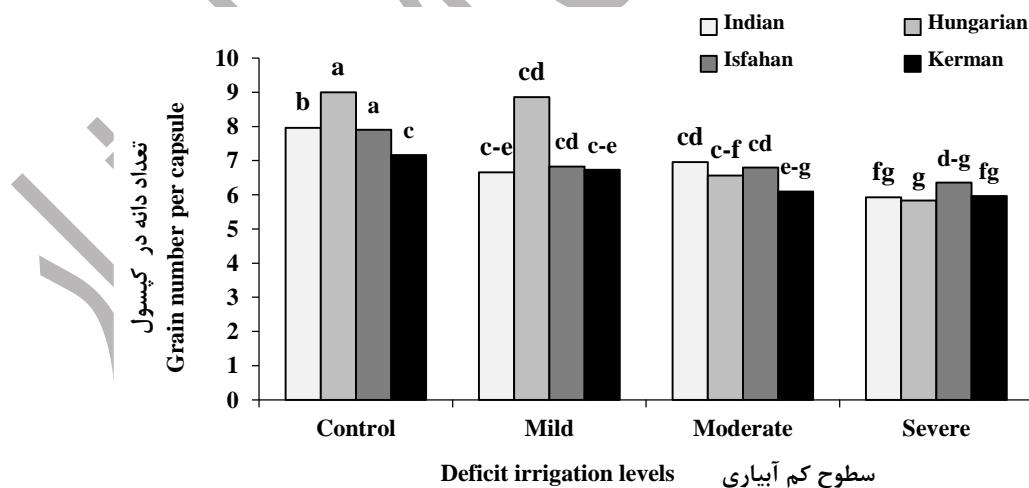
Zandi et al., 2023; Movahhedy-Dehnavy et al., 2009).

### تعداد دانه در کپسول

برهم‌کنش سطوح کم‌آبیاری و ژنوتیپ‌ها نشان داد که تعداد دانه در کپسول با اعمال تیمارهای کم‌آبیاری به‌ویژه کم‌آبیاری شدید به‌طور معنی‌داری کاهش یافت. روند تغییرات تعداد دانه در بوته ژنوتیپ‌ها در تیمارهای کم‌آبیاری نشان داد که تعداد دانه در بوته ژنوتیپ اصفهان در مقایسه با سایر ژنوتیپ‌ها، از ثبات بیشتری به‌ویژه در کم‌آبیاری شدید برخوردار بود (جدول ۴). منطبق با نتایج عملکرد دانه، تیمار کم‌آبیاری متوسط و شدید به دلیل هم‌زمانی مراحل ساقه‌دهی و گلدهی با تنش رطوبتی و ایجاد اختلال در عمل‌گرده‌افشانی، سبب کاهش تعداد دانه در کپسول و در نتیجه عملکرد دانه گردیدند. اگرچه میزان کاهش در کم‌آبیاری شدید به دلیل شدت بالای تنش در مرحله ساقه‌دهی و گلدهی در مقایسه با کم‌آبیاری ملایم و متوسط بیشتر بود، با این حال در کم‌آبیاری شدید میزان سهم کاهش عملکرد دانه به مقدار کمتری بستگی به کاهش تعداد دانه در کپسول (۲۵ درصد کاهش) در مقایسه با تعداد کپسول در بوته (۴۴ درصد کاهش) داشت (شکل ۲).

بدیهی است تأثیر تنش کم‌آبیاری در مرحله تشکیل کپسول (ساقه‌دهی، آغاز گلدهی) بر تعداد کپسول در بوته بیشتر خواهد بود و هرچه زمان اعمال تنش به مرحله تشکیل کپسول‌ها نزدیک‌تر باشد، اثر آن بر تعداد کپسول و در نهایت بر عملکرد دانه بیش‌تر خواهد بود. به عبارتی تأثیر کم‌آبیاری بر تعداد کپسول در بوته نشان می‌دهد که کمبود آب در مراحل اولیه رشد گیاه قادر است آغاز و توسعه اندام‌های زایشی را به‌شدت تحت تأثیر قرار دهد. حساسیت بالای کتان روغنی به تنش خشکی در مرحله کپسول‌دهی تا رسیدگی دانه در مطالعات قبلی نیز گزارش شده است (Shojaeian, Kish et al., 2021).

نکته قابل توجه در این پژوهش این بود که اجزای تعیین‌کننده عملکرد به‌طور متفاوت به تیمارهای کم‌آبیاری واکنش نشان دادند، به‌گونه‌ای که مقادیر کاهش تعداد کپسول در بوته به‌مراتب بیشتر از مقادیر کاهش تعداد دانه در کپسول و وزن هزار دانه بود (جدول ۳). به هر جهت، کاهش تعداد کپسول در بوته در شرایط کم‌آبیاری به‌ویژه در مراحل اولیه رشد گیاه در مقایسه با تعداد دانه در کپسول و وزن هزار دانه مؤید این نکته است که تعداد کپسول در بوته به‌شدت بستگی به دسترسی آب در مراحل رشد رویشی و ساقه‌دهی دارد. در این خصوص نتایج مشابهی نیز در گیاه گلرنگ گزارش شده است



شکل ۲. مقایسه میانگین تعداد دانه در کپسول ژنوتیپ‌های کتان روغنی در شرایط کم‌آبیاری

Fig. 2. Mean comparison for grain number per capsule of oilseed flax genotypes under deficit irrigation

(Zandi et al., 2023)، گردیده است. تعداد دانه در کپسول همبستگی مثبت و معنی‌داری با عملکرد دانه ( $r=0.87^{**}$ ) داشت (جدول ۴). مقادیر این ضریب همبستگی حاکی از آن

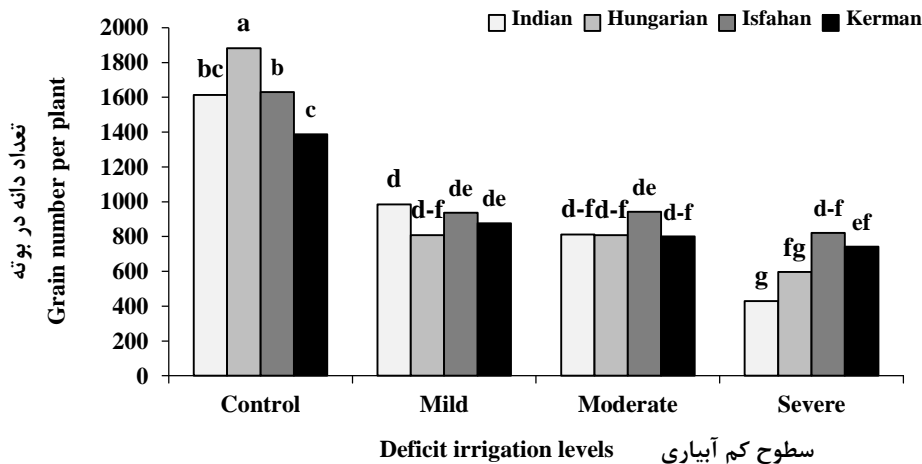
نتایج سایر مطالعات نشان می‌دهد که اعمال تنش رطوبتی در مراحل اولیه گلدهی سبب کاهش تعداد دانه در کپسول کتان روغنی (Naserie et al., 2021) و طبق گلرنگ

است که تعداد دانه در کپسول یکی از اجزای مهم و کلیدی تعیین کننده اجزای عملکرد است و مدیریت مطلوب آبیاری در مراحل رشدی بحرانی مؤثر بر این صفت جهت پایداری عملکرد بایستی مورد توجه قرار گیرد. به هر روی، میزان تغییرات این صفت در شرایط تنش تا حدودی کمتر از تعداد کپسول در بوته بود که می تواند حاکی از ثبات نسبی این جزء از عملکرد دانه در مقابل تغییرات محیطی باشد.

### تعداد دانه در بوته

تعداد دانه در بوته که حاصل ضرب تعداد کپسول در بوته و تعداد دانه در کپسول است تحت تأثیر رژیم های کم آبیاری به طور معنی داری کاهش یافت. مشابه با تعداد دانه در کپسول، به نظر می رسد که تعداد دانه در بوته ژنوتیپ اصفهان در مقایسه با سایر ژنوتیپ ها، از ثبات بیشتری به ویژه در کم-آبیاری شدید برخوردار باشد. به هر روی، با افزایش شدت کم آبیاری، شیب کاهش تعداد دانه در بوته در ژنوتیپ اصفهان و کرمان کم تر از ژنوتیپ مجاری و هندی بود (شکل ۳). کاهش تعداد دانه در بوته در این آزمایش را می توان به کاهش تعداد شاخه های فرعی تحت شرایط کم آبیاری و در

نتیجه کاهش تعداد کپسول در بوته و همچنین به میزان کمتر به کاهش تعداد دانه در کپسول نسبت داد و این کاهش ها به ویژه در ژنوتیپ هندی بیش تر بود. همچنین در اثر تنش رطوبتی به دلیل اختلال در گرده افشانی، عدم توسعه مادگی، تشدید پدیده عقیمی و سقط جنین، تعداد دانه در بوته کاهش می یابد (Naserie et al., 2021). اگرچه در این آزمایش، به دلیل ثبات نسبی تعداد دانه در کپسول ژنوتیپ های اصفهان و کرمان در شرایط تنش به نظر می رسد دلیل اصلی کاهش تعداد دانه در بوته در این دو ژنوتیپ، کاهش تولید کپسول و ریزش شاخه های فرعی و کپسول ها باشد. کاهش تعداد دانه در بوته های کتان روغنی در شرایط تنش خشکی در مطالعات پیشین نیز گزارش شده است (Sadeghian Dehkordi and Tadayyon., 2016; Naserie et al., 2021). به نظر می رسد در شرایط کم آبیاری متوسط و شدید، سهم کاهش تعداد کپسول در بوته در کاهش تعداد دانه در بوته به مراتب بیش تر از تعداد دانه در کپسول باشد. وجود همبستگی مثبت و معنی دار بین تعداد دانه در بوته با تعداد شاخه فرعی ( $r=0/46^{**}$ )، تعداد کپسول در بوته ( $r=0/95^{**}$ )، تعداد دانه در کپسول ( $r=0/90^{**}$ ) و عملکرد دانه ( $r=0/96^{**}$ ) بر ارتباط بین این پارامتر با عملکرد دانه و سایر اجزای آن دلالت دارد.



شکل ۳. مقایسه میانگین تعداد دانه در بوته ژنوتیپ های کتان روغنی در شرایط کم آبیاری

Fig. 3. Mean comparison for grain number per plant of oilseed flax genotypes under deficit irrigation

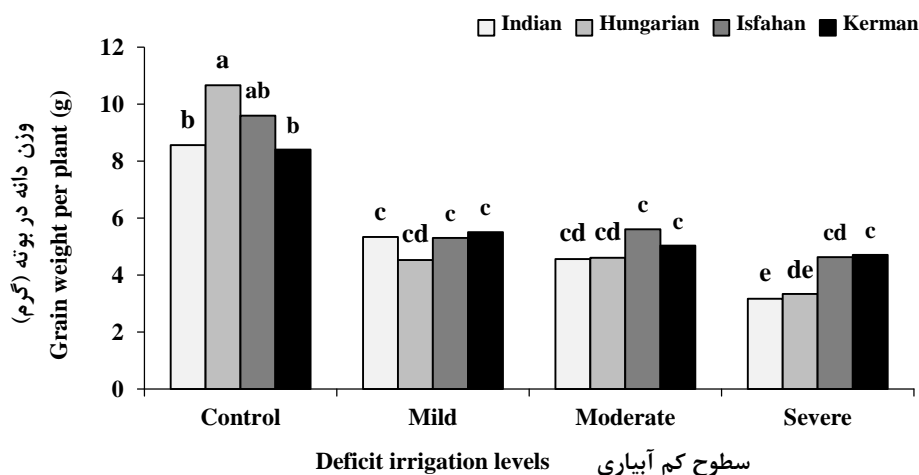
کمترین آن در ژنوتیپ های هندی و مجاری در شرایط کم-آبیاری شدید (به ترتیب ۳/۱۶ و ۳/۳۳ گرم) مشاهده شد. با افزایش شدت کم آبیاری شیب کاهش این صفت، در ژنوتیپ مجاری بیشتر از سایر ژنوتیپ ها بود و بین ژنوتیپ ها در تیمار

### وزن دانه در بوته

برهم کنش سطوح کم آبیاری و ژنوتیپ ها نشان داد که در شرایط آبیاری مطلوب بالاترین میزان وزن دانه در بوته در ژنوتیپ مجاری و اصفهان (به ترتیب ۱۰/۶۶ و ۹/۶۰ گرم) و

دانه در بوته، به نظر می‌رسد وزن دانه در بوته ژنوتیپ‌های اصفهان و کرمان در مقایسه با هندی و مجاری، از ثبات بیشتری به‌ویژه در کم‌آبیاری‌های متوسط و شدید برخوردار باشد (شکل ۴).

کم‌آبیاری شدید تفاوت معنی‌داری وجود داشت، به‌گونه‌ای که میزان کاهش وزن دانه در بوته در مقایسه با آبیاری مطلوب در ژنوتیپ‌های هندی، مجاری، اصفهان و کرمان به ترتیب ۶۳، ۶۸، ۵۱ و ۴۴ درصد بود (جدول ۴). منطبق با نتایج تعداد



شکل ۴. مقایسه میانگین وزن دانه در بوته ژنوتیپ‌های کتان روغنی در شرایط کم‌آبیاری

Fig. 4. Mean comparison for grain weight per plant of oilseed flax genotypes under deficit irrigation

در تیمار کم‌آبیاری شدید تفاوت معنی‌داری وجود داشت، به‌گونه‌ای که میزان کاهش در مقایسه با آبیاری مطلوب در ژنوتیپ‌های هندی، مجاری، اصفهان و کرمان به ترتیب ۵، ۱۵، ۳ و ۲ درصد بود (جدول ۴؛ شکل ۵). همان‌طور که ملاحظه می‌شود در بین اجزای عملکرد وزن هزار دانه در شرایط تنش تغییرات ناچیزی از خود نشان داد و تفاوت جزئی وزن هزار دانه ناشی از تفاوت‌های ژنتیکی و پتانسیل متفاوت ژنوتیپ‌ها است و به نظر می‌رسد بالا بودن وزن هزار دانه کتان روغنی و پایداری آن در شرایط تنش از ویژگی‌های مطلوب یک ژنوتیپ و یکی از عوامل ثبات و پایداری عملکرد است.

هنگامی که گیاه در مراحل مختلف رشد، تحت تأثیر تنش‌های محیطی قرار می‌گیرد مواد ذخیره‌ای اندام‌های هوایی نقش مهمی در پر شدن دانه‌ها دارند. به‌عبارت‌دیگر، سرعت فتوسنتز، طول دوره پر شدن دانه و میزان انتقال مواد ذخیره‌شده به دانه بر وزن دانه مؤثر است (Naserie et al., 2021). تنش رطوبتی از طریق کوتاه شدن دوره رشد، سبب کاهش دوره مؤثر پر شدن دانه و کاهش تولید و انتقال مواد فتوسنتزی به دانه و در نتیجه کاهش وزن دانه می‌شود. تنش رطوبت در مرحله گلدهی منجر به عقیمی و ریزش گل‌ها و عدم رشد دانه می‌شود و در مرحله پر شدن دانه باعث

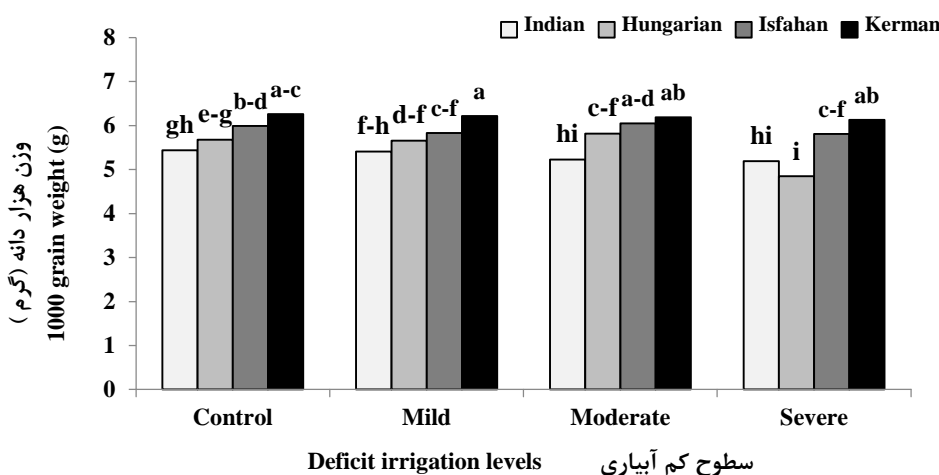
کاهش شدید وزن دانه در بوته در این آزمایش را می‌توان به کاهش قدرت رشد رویشی گیاه تحت شرایط کم‌آبیاری شدید مانند کاهش تعداد شاخه‌های فرعی و در نتیجه کاهش تعداد کپسول در بوته و به مقدار کمتر کاهش تعداد دانه در کپسول نسبت داد و این کاهش‌ها در ژنوتیپ مجاری به‌مراتب بیشتر بود. وجود همبستگی مثبت و معنی‌دار بین وزن دانه در بوته با تعداد کپسول در بوته ( $r=0/96^{**}$ )، و تعداد دانه در کپسول ( $r=0/88^{**}$ ) حاکی از آن است که در شرایط کم‌آبیاری متوسط و شدید سهم کاهش تعداد کپسول در بوته در کاهش وزن دانه در بوته به‌مراتب بیشتر از تعداد دانه در کپسول است. وجود همبستگی مثبت و معنی‌دار بین وزن دانه در بوته با عملکرد دانه ( $r=0/98^{**}$ ) بر ارتباط مستقیم بین این پارامتر با عملکرد دانه دلالت دارد.

#### وزن هزار دانه

وزن دانه یکی از مهم‌ترین عوامل مؤثر و تعیین‌کننده عملکرد دانه است که بستگی به سرعت و مدت‌زمان پر شدن دانه دارد. برهم‌کنش سطوح کم‌آبیاری و ژنوتیپ‌ها نشان داد که با افزایش شدت تنش رطوبتی شیب کاهش وزن هزار دانه، در ژنوتیپ مجاری بیشتر از سایر ژنوتیپ‌ها بود و بین ژنوتیپ‌ها

شدید را می‌توان به کاهش درصد رطوبت قابل‌دسترس (۶۰ درصد) در مرحله پر شدن دانه نسبت داد. کاهش وزن هزار دانه بوته‌های کتان روغنی در شرایط تنش خشکی قبلاً نیز گزارش شده است (Sadeghian Dehkordi and Tadayyon., 2016; Naserie et al., 2021).

چروکیدگی دانه و درنهایت کاهش وزن آن می‌شود (Mozzafari et al., 2000). به‌هرروی، وزن دانه صفتی ژنتیکی است، ولی بسته به زمان وقوع تنش در مراحل مختلف رشدی تحت تأثیر عوامل محیطی نیز قرار می‌گیرد. در این پژوهش، کاهش مقادیر وزن هزار دانه در شرایط کم‌آبیاری



شکل ۵. مقایسه میانگین وزن هزار دانه ژنوتیپ‌های کتان روغنی در شرایط کم‌آبیاری

Fig. 5. Mean comparison for 1000 grain weight of oilseed flax genotypes under deficit irrigation

شد. گزارش شده با افزایش فواصل آبیاری در شرایط کم-آبیاری، تعداد سلول‌های آغازین تشکیل‌شده جهت تولید انشعابات اولیه ساقه کاهش می‌یابد و منجر به کاهش تعداد شاخه اصلی می‌شود (Cox and Jollif et al., 1986). همبستگی مثبت و معنی‌دار بین تعداد شاخه فرعی با تعداد طبق در بوته ( $r=0.68^{**}$ ) نیز مؤید این نکته بود. به نظر می‌رسد علت کاهش تعداد کپسول در ژنوتیپ مجاری علی‌رغم تعداد بیشتر شاخه فرعی به دلیل رشد رویشی بیش‌ازحد بوته-های این ژنوتیپ قبل از گلدهی باشد به‌گونه‌ای که اعمال کم‌آبی در زمان گلدهی سبب عدم تعادل بین تقاضای اندام-های موجود و تولید مواد فتوسنتزی می‌شود. در این شرایط گیاه برای حفظ تعادل، بخشی از رشد خود را از طریق کاهش تعداد کپسول از دست می‌دهد (Zandi et al., 2023; Naserie et al., 2021). گفته می‌شود در شرایط تنش خشکی افزایش تولید اتیلن منجر به ریزش شاخه‌های اضافی می‌شود (Naserie et al., 2021).

#### تعداد شاخه فرعی

تعداد شاخه فرعی در بوته در تعیین تعداد کپسول در بوته، تعداد دانه در کپسول و درنهایت عملکرد دانه نقش مهمی دارد. تعداد شاخه فرعی با اعمال رژیم‌های کم‌آبیاری به‌طور معنی‌داری کاهش یافت. بیش‌ترین تعداد شاخه فرعی در تیمار آبیاری مطلوب و کم‌ترین مقدار در رژیم کم‌آبیاری ملایم (۱۵ درصد کاهش) مشاهده شد. همچنین ژنوتیپ مجاری دارای بیشترین تعداد شاخه فرعی و ژنوتیپ کرمان دارای کمترین تعداد ساقه فرعی در بوته بود (جدول ۳). تعداد شاخه فرعی در بوته نقش مهمی در تعیین تعداد دانه در بوته و عملکرد دانه دارد. در این پژوهش، در تیمار کم‌آبیاری ملایم، اعمال تنش رطوبتی در مرحله رشد رویشی سبب کاهش قدرت رویشی گیاه و کاهش تعداد شاخه‌های فرعی در بوته شد. احتمال می‌رود در شرایط تنش با افزایش سرعت گذر از مرحله رویشی به زایشی، تعداد شاخه فرعی در بوته کاهش یابد. به‌رحال در تیمارهای کم‌آبیاری متوسط و شدید، علی‌رغم اعمال تنش در مراحل رشد رویشی، ساقه‌دهی و آغاز گلدهی، کاهش کمتری در تعداد شاخه فرعی در بوته مشاهده

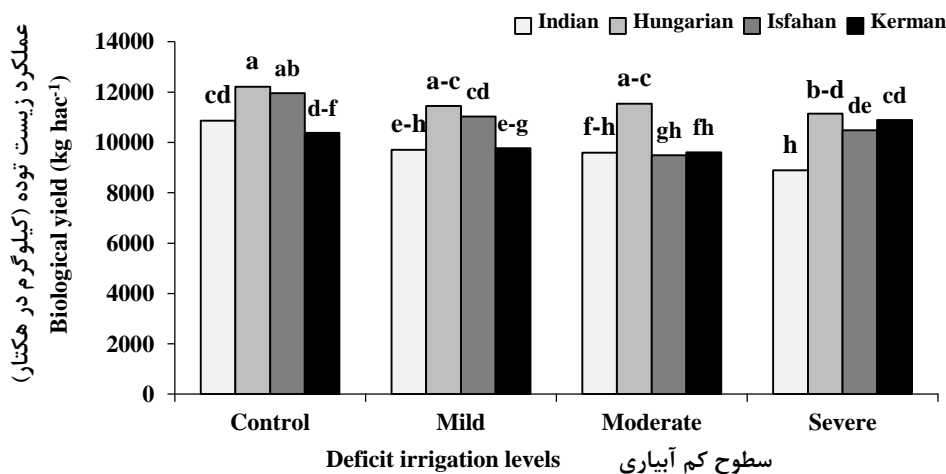
## ارتفاع بوته

درصدی رطوبت قابل دسترس به ترتیب در مراحل رشد رویشی و ساقه‌دهی گیاه از طریق کاهش توسعه سلولی و فتوسنتز و تولید ماده خشک سبب کاهش طول شدن ساقه گردید. از سوی دیگر کاهش ارتفاع گیاه با افزایش شدت تنش رطوبتی به‌ویژه در مرحله ساقه‌دهی به اختلال در فتوسنتز به‌واسطه محدودیت دسترسی گیاه به آب و دی‌اکسید کربن و کاهش تولید و تخصیص مواد فتوسنتزی به بخش‌های در حال رشد گیاه نسبت داده شده است (Manvelian et al., 2021). همبستگی مثبت و معنی‌دار ارتفاع بوته و عملکرد زیست‌توده ( $r=0/61^{**}$ ) بر نقش اساسی ارتفاع بوته در افزایش عملکرد زیست‌توده گیاه اشاره دارد (جدول ۴).

## عملکرد زیست‌توده

برهم‌کنش سطوح کم‌آبیاری و ژنوتیپ‌ها نشان داد که اعمال رژیم‌های کم‌آبیاری به‌طور متفاوتی منجر به کاهش معنی‌دار عملکرد زیست‌توده در هر چهار ژنوتیپ شد (شکل ۶).

ارتفاع بوته یکی از صفات تأثیرگذار بر عملکرد گیاه در برداشت مکانیزه است. آبیاری مطلوب دارای بیش‌ترین و کم‌آبیاری شدید با کاهش ۹ درصدی دارای کمترین ارتفاع بوته بود (جدول ۳). ژنوتیپ مجاری و هندی به ترتیب دارای بیشترین و کمترین ارتفاع بوته بود (جدول ۳). ارتفاع بوته کتان روغنی همانند بسیاری از دانه‌های روغنی قبل از مرحله گلدهی تعیین می‌گردد و کاهش ارتفاع ناشی از اعمال تنش خشکی در مرحله رویشی شدیدتر است و هرچه زمان تنش به انتهای فصل رشد نزدیک‌تر باشد تأثیر آن بر ارتفاع بوته کمتر است. تنش خشکی در مرحله رشد رویشی از طریق کاهش فشار آماس، باعث کاهش رشد و توسعه سلول می‌شود و کاهش رشد و نمو، سبب محدودیت اندازه اندام‌ها و توقف رشد طولی ساقه می‌شود (Naserie et al., 2021). در تیمار آبیاری مطلوب، گیاه در شرایط مطلوب رطوبتی قرار داشته و شرایط لازم برای افزایش تعداد و اندازه سلول فراهم می‌گردد. در مقابل، وقوع تنش در کم‌آبیاری شدید با کاهش ۶۰ و ۵۰



شکل ۶. مقایسه میانگین عملکرد زیست‌توده ژنوتیپ‌های کتان روغنی در شرایط کم‌آبیاری

Fig. 6. Mean comparison for biological yield of oilseed flax genotypes under deficit irrigation

بیش‌تر بودن عملکرد زیست‌توده در ژنوتیپ مجاری را می‌توان به بیشتر بودن ارتفاع بوته و تعداد شاخه‌های فرعی آن نسبت داد (جدول ۳). همبستگی مثبت و معنی‌دار عملکرد زیست‌توده با ارتفاع بوته ( $r=0/61^{**}$ ) و تعداد ساقه فرعی ( $r=0/50^{**}$ ) مؤید این نکته بود. عملکرد زیست‌توده بیشتر ژنوتیپ‌ها در شرایط کم‌آبیاری متوسط و شدید به‌طور قابل توجهی کمتر از رژیم آبیاری مطلوب و کم‌آبیاری ملایم بود به‌گونه‌ای که میزان کاهش عملکرد زیست‌توده در مقایسه

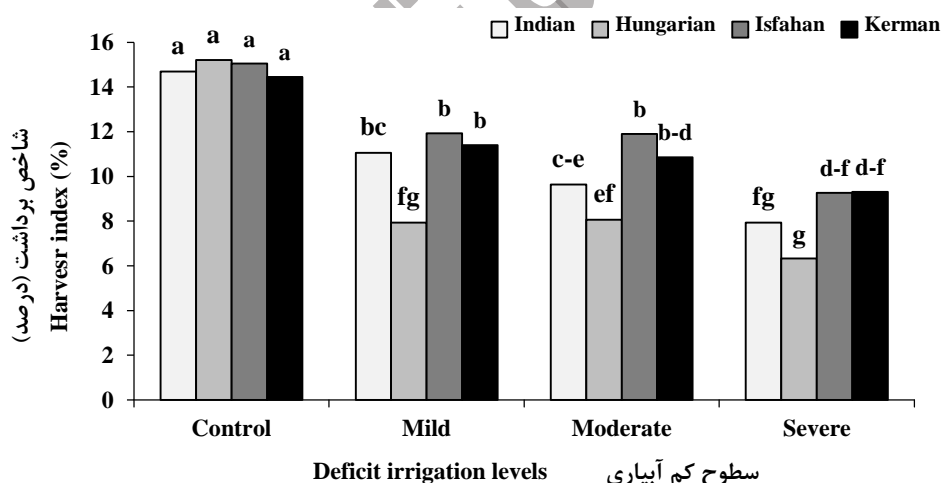
با آبیاری مطلوب در ژنوتیپ‌های هندی، مجاری، اصفهان و کرمان در کم‌آبیاری متوسط به ترتیب ۱۱، ۵، ۲۱ و ۱۴ درصد و در کم‌آبیاری شدید به ترتیب ۱۸، ۹، ۹ و ۵ درصد بود (جدول ۴). احتمال می‌رود که تنش رطوبتی در مراحل رویشی، ساقه‌دهی و گلدهی از طریق کاهش سطح و دوام برگ و کاهش استفاده از نور خورشید جهت فتوسنتز و همچنین اختلال در گلدهی و تولید کپسول و کاهش احتمال

### شاخص برداشت

برهم کنش سطوح کم آبیاری و ژنوتیپ‌ها نشان داد که شاخص برداشت با اعمال کم آبیاری به طور قابل توجهی کاهش یافت و میزان کاهش در بین ژنوتیپ‌ها در سطوح مختلف کم آبیاری تفاوت معنی داری وجود داشت (شکل ۷). تفاوت بین ژنوتیپ‌های کتان روغنی از نظر شاخص برداشت قبلاً نیز گزارش شده است (Naserie et al., 2021). با افزایش شدت تنش شاخص برداشت روند کاهشی داشت، به طوری که بیشترین مقدار (۱۵/۲ درصد) در ژنوتیپ مجاری در شرایط آبیاری مطلوب و کمترین مقدار (۶/۳ درصد) در شرایط کم آبیاری شدید گزارش شد (جدول ۴). مقادیر شاخص برداشت وابستگی زیادی به تغییرات عملکرد دانه دارد. دلیل تغییرات جزئی این صفت در ژنوتیپ اصفهان را می‌توان به بالا بودن عملکرد زیست‌توده آن در مواجهه با تنش رطوبتی و کارایی بهتر انتقال مواد فتوسنتزی از مبدأ به مخزن و حفظ عملکرد دانه آن نسبت داد (جدول ۴).

تبدیل گل به بذر باعث کاهش عملکرد دانه و زیست‌توده شده است.

کاهش عملکرد زیست‌توده در شرایط تنش رطوبتی در پژوهش‌های متعددی (Naserie et al., 2021; Zandi et al., 2023) گزارش شده است. عملکرد زیست‌توده همبستگی بالایی با تعداد کپسول در بوته ( $r=0/52^{**}$ ) و تعداد دانه در کپسول ( $r=0/52^{**}$ ) داشت، لذا به نظر می‌رسد این ارتباط نقش مهمی در تولید عملکرد زیست‌توده و عملکرد دانه داشته باشد و با توجه به اهمیت تنش رطوبتی در زراعت گیاهان دانه روغنی در بسیاری از مناطق کشور، انتخاب ارقام مناسب کاشت در منطقه بر اساس عملکرد زیست‌توده و گزینش ارقام دارای عملکرد زیست‌توده و شاخص برداشت بالا از اهمیت خاصی برخوردار است (Zandi et al., 2023). در این پژوهش برتری عملکرد زیست‌توده با نتایج عملکرد دانه نیز انطباق داشت (جدول ۳).



شکل ۷. مقایسه میانگین شاخص برداشت ژنوتیپ‌های کتان روغنی در شرایط کم آبیاری

Fig. 7. Mean comparison for harvest index of oilseed flax genotypes under deficit irrigation

در بوته ( $r=0/95^{**}$ ) نشان می‌دهد که با حفظ یا افزایش عملکرد دانه و اجزای آن در شرایط تنش، امکان افزایش شاخص برداشت با حفظ عملکرد زیست‌توده وجود دارد.

### محتوای روغن

محتوای روغن تنها در رژیم کم آبیاری شدید به طور معنی داری در مقایسه با آبیاری مطلوب (۷ درصد) کاهش یافت. ژنوتیپ مجاری دارای بیشترین (۳۱/۶ درصد) و ژنوتیپ هندی دارای کمترین (۲۸/۷ درصد) میزان محتوای روغن بود (جدول ۳).

شاخص برداشت بیانگر چگونگی تسهیم مواد پرورده بین بخش‌های رویشی و زایشی گیاه است. تغییرات این شاخص وابستگی زیادی به عملکرد دانه و عوامل مؤثر بر اجزای آن از جمله تعداد کپسول در بوته و تعداد دانه در کپسول دارد. به‌رحال گزارش‌هایی مبنی بر کاهش (Sadeghian, 2016) یا عدم تغییر (Dehkordi and Tadayyon, 2016) یا همبستگی بالای شاخص برداشت با عملکرد دانه ( $r=0/96^{**}$ )، تعداد کپسول در بوته ( $r=0/96^{**}$ )، تعداد دانه در کپسول ( $r=0/81^{**}$ )، و وزن دانه

علی‌رغم تغییر در محتوای روغن نسبت داده می‌شود. همبستگی بالای بین عملکرد روغن با تعداد شاخه فرعی ( $r=0/35^*$ )، تعداد دانه در بوته ( $r=0/94^{**}$ ) و تعداد کپسول در بوته ( $r=0/94^{**}$ )، نیز مؤید این نکته بود. در همین راستا، در پژوهش‌های پیشین کمترین و بیشترین مقدار کاهش عملکرد روغن به ترتیب در زمان وقوع تنش خشکی در مرحله رشد رویشی و زایشی گلرنگ گزارش شده است (Singh et al., 2016). تنش خشکی طول دوره پر شدن دانه را کاهش داده و فرصت بیشتری برای تجمع پروتئین در دانه‌ها فراهم می‌کند، در نتیجه درصد روغن گیاه کاهش می‌یابد (Ferasat et al., 2012). در این پژوهش، عملکرد بالای روغن ژنوتیپ اصفهان را می‌توان عملکرد بالای دانه این ژنوتیپ نسبت داد (جدول ۳). به نظر می‌رسد رتبه‌بندی ژنوتیپ‌های دانه روغنی از نظر عملکرد روغن عمدتاً به‌وسیله عملکرد دانه تعیین شود.

#### کارایی مصرف آب بر اساس عملکرد روغن

بیشترین کارایی مصرف آب برای عملکرد روغن مربوط به آبیاری مطلوب و ژنوتیپ مجاری و اصفهان و کمترین مقدار مربوط به کم‌آبیاری ملایم و ژنوتیپ مجاری بود. کارایی مصرف آب بر اساس عملکرد روغن ژنوتیپ‌ها با اعمال تیمارهای کم‌آبیاری روند متفاوتی نشان داد به‌گونه‌ای که در ژنوتیپ هندی و مجاری کاهش یافت درحالی‌که در ژنوتیپ اصفهان روند ثابت و در ژنوتیپ کرمان روند افزایشی نشان داد. اگرچه مقادیر آن در کم‌آبیاری متوسط به‌مراتب بیشتر از کم‌آبیاری ملایم و شدید بود (شکل ۸). به‌طورکلی، روند تغییرات کارایی مصرف آب ژنوتیپ‌ها برای عملکرد روغن در تیمارهای کم‌آبیاری نشان داد که کارایی مصرف آب ژنوتیپ اصفهان و کرمان در مقایسه با سایر ژنوتیپ‌ها، از ثبات بیشتری برخوردار بود (شکل ۸).

بر اساس نتایج مقایسه میانگین عملکرد روغن دانه، در شرایط کم‌آبیاری ژنوتیپ اصفهان و کرمان دارای عملکرد روغن بیشتری در مقایسه با ژنوتیپ هندی و مجاری بودند و منطبق با این نتایج، میانگین کارایی مصرف آب به ازای روغن تولیدی این دو ژنوتیپ هم به‌مراتب بالاتر از دو ژنوتیپ دیگر بود؛ زیرا اعمال تیمارهای کم‌آبیاری ملایم، متوسط و شدید باعث کاهش ۲۰، ۳۵ و ۴۰ درصدی مقدار آب مصرفی در مقایسه با آبیاری مطلوب شد و با توجه به تخصیص مقادیر مشابه آب مصرفی بین ژنوتیپ‌ها در هر تیمار کم‌آبیاری، مقادیر راندمان مصرف آب متناسب با تغییرات عملکرد روغن

در رابطه با تأثیر تنش رطوبتی بر محتوای روغن دانه‌های روغنی گزارش‌های متناقضی وجود دارد. در همین راستا گزارش‌های مبنی بر افزایش (Singh et al., 2016)، کاهش (Sadeghian Dehkordi and Tadayyon, 2021) یا عدم‌تغییر (Salek Mearaji and Tavakoli, 2020) محتوای روغن در شرایط خشکی وجود دارد. از سوی دیگر، گزارش شده که اعمال یک، دو و سه مرتبه آبیاری تکمیلی در شرایط دیم منجر به افزایش محتوای روغن کتان به ترتیب به میزان ۲۹، ۳۱ و ۳۲ درصد شد (Rahimi et al., 2020). برخی پژوهشگران به کاهش کربوهیدرات‌های قابل‌دسترس در شرایط تنش خشکی جهت ساخت روغن اشاره کرده‌اند (Awasthi et al., 2014). از سوی دیگر در زمان وقوع تنش، فرآیندهای آنزیمی و تشکیل پروتئین، منجر به مصرف مواد فتوسنتزی می‌شوند و تولید ترکیبات فعال زیستی گیاه را در برابر عوارض ناشی از تنش محافظت می‌کند و از این طریق بر عملکرد محصول و محتوای روغن تأثیر می‌گذارد (Sanchez-Martín et al., 2018). احتمال می‌رود تنش رطوبتی از طریق اختلال در پر شدن دانه و تأثیر بر وزن دانه و همچنین افزایش نسبت پوسته به مغز باعث کاهش درصد روغن شود.

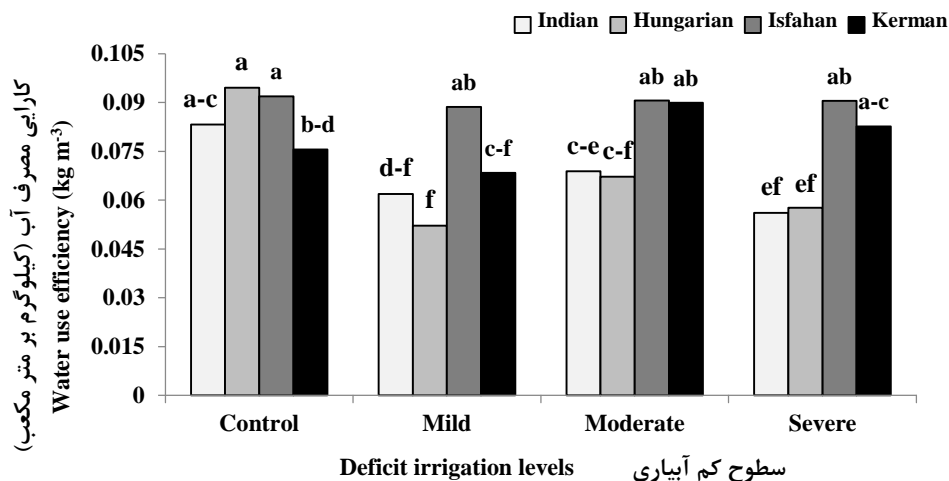
#### عملکرد روغن

آبیاری مطلوب بیشترین و کم‌آبیاری شدید کمترین عملکرد روغن را به خود اختصاص داد. همچنین ژنوتیپ اصفهان و هندی به ترتیب دارای بیشترین و کمترین میزان عملکرد روغن بود (جدول ۳). رژیم‌های کم‌آبیاری ملایم، متوسط و شدید منجر به کاهش معنی‌دار عملکرد روغن در هر چهار ژنوتیپ به ترتیب به میزان ۳۵، ۴۰ و ۵۲ درصد نسبت به آبیاری مطلوب شد (جدول ۳). کاهش عملکرد روغن در شرایط تنش کم‌آبی در پژوهش‌های متعددی گزارش گردیده است (Zandi et al., 2023; Manvelian et al., 2021). عملکرد روغن تحت تأثیر تغییرات عملکرد دانه و محتوای روغن به رژیم‌های آبیاری قرار می‌گیرد. در این پژوهش میزان تأثیرپذیری عملکرد روغن از درصد روغن ناچیز بود و مقادیر کاهش عملکرد روغن در رژیم‌های کم‌آبیاری منطبق با مقادیر کاهش عملکرد دانه و ناشی از تغییر در اجزای اصلی تعیین‌کننده عملکرد دانه بود. به عبارتی، دلیل اصلی کاهش عملکرد روغن به کاهش عملکرد دانه ناشی از کم‌آبیاری در مراحل رشد سریع ساقه و گلدهی از طریق تأثیر بر تعداد شاخه فرعی، تعداد کپسول در بوته و تعداد دانه در بوته



اصفهان و کرمان، باعث کاهش ۳۵ درصدی مقدار آب مصرفی در طول دوره رشد این ژنوتیپ‌ها شد. بر همین اساس ژنوتیپ‌های اصفهان و کرمان در سطح کم‌آبیاری متوسط، دارای پایداری بیشتر عملکرد روغن و کارایی مصرف آب بودند.

در هر ژنوتیپ تغییر یافت. بر اساس این یافته‌ها، به نظر می‌رسد اعمال تیمار کم‌آبیاری متوسط با حفظ ۶۰ درصدی رطوبت قابل‌دسترس در کل دوره رشدی کتان و علیرغم کاهش ۴۲ و ۳۱ درصدی عملکرد روغن در ژنوتیپ‌های



شکل ۸. مقایسه میانگین کارایی مصرف آب ژنوتیپ‌های کتان روغنی در شرایط کم‌آبیاری

Fig. 8. Mean comparison for water use efficiency of oilseed flax genotypes under deficit irrigation

کل دوره رشدی کتان و علیرغم کاهش ۴۳ و ۳۷ درصدی عملکرد دانه در ژنوتیپ‌های اصفهان و کرمان، باعث کاهش ۳۵ درصدی مقدار آب مصرفی شد. لذا این سطح کم‌آبیاری و ژنوتیپ‌های اصفهان و کرمان در شرایط کمبود آب در مناطق نیمه‌خشک، با پایداری بیشتر عملکرد دانه و روغن در شرایط کم‌آبیاری توصیه می‌گردد. همچنین با توجه به بیشترین تأثیر نامطلوب کم‌آبیاری شدید بر عملکرد دانه در مرحله گلدهی پیشنهاد می‌شود در شرایط محدودیت آب، آبیاری مرحله گلدهی در اولویت قرار گیرد در شرایط محدودیت آب، اعمال کم‌آبیاری در مرحله رسیدگی دانه انجام گردد.

#### سپاسگزاری

نویسندگان از حمایت‌های مالی معاونت پژوهش و فناوری دانشگاه شهید چمران اهواز در راستای اجرای این پژوهش به شماره پژوهانه SCU.AA1400.96 سپاسگزاری می‌نمایند.

#### نتیجه‌گیری نهایی

در این پژوهش اعمال رژیم‌های کم‌آبیاری بسته به مرحله رشدی گیاه و شدت تنش به‌طور متفاوتی باعث کاهش عملکرد و اجزای آن و عملکرد روغن شد. ژنوتیپ‌های اصفهان و کرمان به دلیل عملکرد دانه بالاتر دارای مقادیر عملکرد روغن بالاتری بودند به‌گونه‌ای که در سطوح ملایم و متوسط کم‌آبیاری، پایداری عملکرد ژنوتیپ اصفهان و در سطوح شدید کم‌آبیاری پایداری عملکرد ژنوتیپ اصفهان و کرمان بیشتر از سایر ژنوتیپ‌ها بود که این امر ممکن است با سازگاری بهتر این ژنوتیپ‌ها با شرایط تنش کم‌آبیاری در مراحل رشد سریع ساقه و پر شدن دانه مرتبط باشد. به نظر می‌رسد این دو ژنوتیپ از طیف سازگاری نسبتاً خوبی در تحمل به شرایط کم‌آبیاری برخوردار باشند. هرچند کاهش عملکرد این ارقام در شرایط کم‌آبیاری نیز قابل‌ملاحظه بود. اعمال تیمار کم‌آبیاری متوسط با حفظ ۶۰ درصدی رطوبت قابل‌دسترس در

#### منابع

Awasthi, R., Kaushal, N., Vadez, V., Turner, N.C., Berger, J., Siddique, K.H.M., Nayyar, H., 2014. Individual and combined effects of transient drought and heat stress on carbon

assimilation and seed filling in chickpea. *Functional Plant Biology*. 41(11), 1148-1167. <https://doi.org/10.1071/FP13340>

- Bauer, P.J., Stone, K.C., Foulk, J.A., Dodd, R.B., 2015. Irrigation and cultivar effect on flax fiber and seed yield in the Southeast USA. *Industrial Crops and Products*. 67, 7-10. <https://doi.org/10.1016/j.indcrop.2014.12.053>
- Cox, W.J., Jollif, G.D., 1986. Growth and yield of sunflower and soybean under soil water deficits. *Agronomy Journal*. 78, 266-230. <https://doi.org/10.2134/agronj1986.00021962007800020002x>
- Cui, H.Y., Hu, F.L., Fang, Z.S., Wang, H.L., Niu, J.Y., Xu, W.C., 2015. Effects of irrigations on dry matter accumulation, distribution, grain yield and water use efficiency in oil flax. *Agricultural Research in the Arid Areas*. 33, 34-40. <https://doi.org/10.7606/j.issn.1000-7601.2015.05.07>
- FAO. 2022. <https://www.fao.org/faostat/en/#data/QCL>
- Fereres, E., Soriano, M.A., 2007. Deficit irrigation for reducing agricultural water use. *Journal of Experimental Botany*. 58, 147-159. <https://doi.org/10.1093/jxb/erl165>
- Ferasat, M., Sajedi, N.A., Mirzakhani, M., 2012. Effects of drought stress on yield and yield components in safflower genotypes (*Carthamus tinctorius*). *Iranian Journal of Field Crops Research*. 10, 346-353. [In Persian with English summary]. <https://doi.org/10.22067/gsc.v10i2.16221>
- Fernández, J.E., Perez-Martin, A., Torres-Ruiz, J.M., Cuevas, M.V. Rodriguez-Dominguez, C.M., Elsayed-Farag, S., Morales-Sillero, A., García, J.M., Hernandez-Santana, V., Diaz-Espejo, A., 2013. A regulated deficit irrigation strategy for hedgerow olive orchards with high plant density. *Plant and Soils*. 372, 279-295 <https://doi.org/10.1007/s11104-013-1704-2>
- Gao, Y.H., 2020. Oilseed flax (*Linum usitatissimum* L.), an emerging functional cash crop of China. *Oil Crop Science*. 5, 23. <https://doi.org/10.1016/j.ocsci.2020.04.002>
- Istanbulluoglu, A., Konukcu, F., Kocaman, I., Sener, M., 2015. The effects of deficit irrigation regimes on yield and growth components of linseed (*Linum Usitatissimum* L.). *Journal of Agricultural Science and Engineering*. 1, 08-113. <https://www.aiscience.org/journal/jase>
- Ma, L.S., Li, Y.J., Wu, P.T., Zhao, X.N., Gao, X.D., Chen, X.L., 2020. Recovery growth and water use of intercropped maize following wheat harvest in wheat/maize relay strip intercropping. *Field Crops Research*. 256. <https://doi.org/10.1016/j.fcr.2020.107924>
- Manvelian, J., Weisany, W., Tahir, N.A.R., Jabbari, H., Diyanat, M., 2021. Physiological and biochemical response of safflower (*Carthamus tinctorius* L.) cultivars to zinc application under drought stress. *Industrial Crops and Products*. 172, 15. <https://doi.org/10.1016/j.indcrop.2021.05.011406905>
- Ministry of Agriculture Jihad. 2022. Annual harvested area, production, and yield in 2021-2022. [In Persian].
- Moatshe, O.G., Emongor, V.E., Balole, T.V., Tshwenyane, S.O., 2020. Safflower genotype by plant density on yield and phenological characteristics. *African Crop Science Journal*. 28, 145-163. <https://doi.org/10.4314/acsj.v28i1.11S>
- Movahhedy-Dehnavy, M., Modares-Sanavy, S.A.M., Mokhtassi-Bidgoli, A.M., 2009. Foliar application of zinc and manganese improves seed yield and quality of safflower (*Carthamus tinctorius* L.) grown under water deficit stress. *Industrial Crops and Products*. 30, 82-9. [In Persian with English summary]. <https://doi.org/10.1016/j.indcrop.2009.02.004>
- Mozzafari, F., Ghorbanli, S., Babai, M., Farzami, A., 2000. The effect of water stress on the seed oil of *Nigella sativa* L. *Journal of Essential Oil Research*. 12, 36-38. <https://doi.org/10.1080/10412905.2000.9712036>
- Naserie, B., Saeidi, M., Khorami vafa, M., Sharifi, R., Khoshkhoodi, S., 2021. The effect of different methods of seed pretreatment on agronomic characteristics of flaxseed under post flowering drought stress in Kermanshah region. *Journal of Agricultural Science and Sustainable Production*, 31, 227-247. [In Persian with English summary]. <https://doi.org/10.22034/saps.2021.39483.2479>
- Rahimi, M.M., Nour Mohamadi, G., Aeinehband, A., Afshar, I., Moafpourian, G., 2009. Effects of sowing time and different nitrogen levels on quantitative and qualitative characteristics of oil Flax (*Linum usitatissimum* L.). *Seed and Plant Production Journal*, 25, 79-91. [In Persian with English summary]. <https://doi.org/10.22092/sppj.2017.110365>
- Sadeghian Dehkordi, S.A., Tadayyon, A., 2016. Response of linseed (*Linum usitatissimum* L.)

- to bio-fertilizer, nitrogen and phosphorus chemical fertilizer under drought stress conditions. *Journal of Plant Ecophysiology*. 8, 72-89. [In Persian with English summary]. <https://doi.org/20.1001.1.20085958.1395.8.27.6.7>
- Salek Mearaji, H., Tavakoli, A., 2020. Evaluation of yield and some traits of two safflower (*Carthamus tinctorius* L.) cultivars under different irrigation regimes. *Environmental Stresses in Crop Sciences*. 13, 763-775. [In Persian with English Summary]. <https://doi.org/10.22077/escs.2020.2254.1575>
- Shojaeian Kish, F., Yadavi, A., Movahhedi Dehnavi, M., Salehi, A., Hamidian, M., 2021. Improvement of physiological characteristics and nutrient uptake of linseed (*Linum usitatissimum*) with biofertilizers application under irrigation withholding at different growth stages. *Plant Process and Function*. 10, 265-282. [In Persian with English summary]. <http://jispp.iut.ac.ir/article-1-1449-fa.html>
- Sanchez-Martín, J., Canales, F., Tweed, J., Lee, M., Rubiales, D., Gomez-Cadenas, A., Prats, E., 2018. Fatty acid profile changes during gradual soil water depletion in oats suggests a role for jasmonates in coping with drought. *Frontiers in Plant Science*. 9, 77-100. <https://doi.org/10.3389/fpls.01077>
- Singh, S., Angadi, S.V., Grover, K., Begna, S., Auld, D., 2016. Drought response and yield formation of spring safflower under different water regimes in the semiarid Southern High Plains. *Agricultural Water Management*. 163, 354-362. <https://doi.org/10.1016/j.agwat.2015.10.010>
- Sierts, H.P., Geisler, G., Leonard, J., Diepenbrock, W., 1987. Stability of yield components from winter oilseed rape (*Brassica napus* L.). *Journal of Agronomy and Crop Science*. 158, 107-113. <https://doi.org/10.1111/j.1439-037x.1987.tb01153>
- Wei, B., Hou, K., Zhang, H., Wang, X., Wu, W., 2020. Integrating transcriptomics and metabolomics to studies key metabolism, pathways and candidate genes associated with drought-tolerance in *Carthamus tinctorius* L. Under drought stress. *Industrial Crops and Products*. 151, 112465. <https://doi.org/10.1016/j.indcrop.2020.112465>
- Zandi, R., Rahnama, A., Meskarbashi, M., 2023. Effect of deficit irrigation regimes on photosynthetic, morpho-physiological and yield traits of safflower (*Carthamus tinctorios* L.) in Ahvaz climate condition. *Crop Physiology Journal*. 15, 19-40. [In Persian with English Summary]. <https://cpj.ahvaz.iau.ir/article-1-1614-en.html>
- Zhao, B.Q., Gao, Y.H., Yan, B., Cui, Z.J., Wang, H.D., Cao, Z., 2020. Varied previous crops on improving oilseed flax productivity in semiarid Loess Plateau in China. *Oil Crop Science*. 5, 187-193. <https://10.1016/j.ocsci.2020.12.002>